



Estación 8-33-YC-AM-110 - Escombrera de siderita en la mina "El Novillero". Se observan indicios de cobre (malaquita).



Estación 8-33-YC-AM-111 - Socavón de la mina "El Novillero". La anchura del mismo responde al espesor del filón explotado.



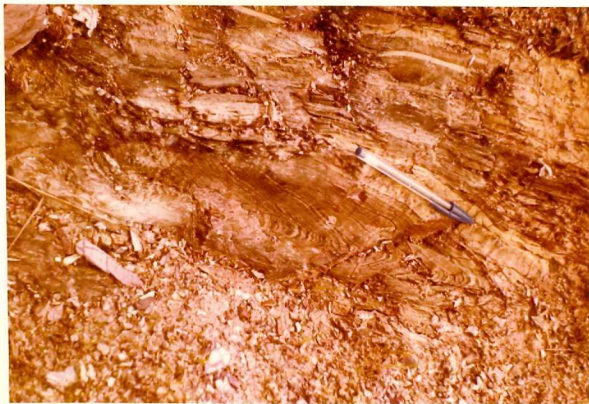
Estación 8-33-YC-AM-112 - Aspecto de una labor minera en "El Novillero".



Estación 8-33-YC-AM-113 - Pliegue métrico en una alternancia flyschoide de lilitas y pizarras. El martillo señala la dirección del plano axial. C^{ra} Cheles-Alconchel, Km. 7.200.



Estación 8-33-YC-AM-114 - Pliegues de segunda fase en pizarras.



Estación 8-33-YC-AM-115 - Estilo de los pliegues de primera fase en las pizarras bandeadas.



Estación 8-33-YC-AM-116 - Aspecto del plegamiento de primera fase en pi
zarras bandeadas.



Estación 8-33-YC-AM-117 - Típica fractura de las "pizarras astillosas".



Estación 8-33-YC-AM-118 - Detalle de pliegues mesoscópicos de primera = fase en calizas del "klippe" más importante.